



REMOÇÃO DE LEVOFLOXACINO EM SOLUÇÕES AQUOSAS UTILIZANDO ADSORVENTE À BASE DE CARVÃO ATIVADO MAGNÉTICO

Daiane D. M. Paula^{1*} (PG), Luan F. Costa¹ (G), Maria C. Chaves¹ (G), Matheus M. Guedes¹ (PG), Maria C. Silva¹ (PQ), Keyller B. Borges¹ (PQ)

¹ Departamento de Ciências Naturais, Universidade Federal de São João del-Rei, Campus Dom Bosco, Praça Dom Helvécio 74, Fábricas 36301-160 – São João del-Rei, MG-Brasil

*E-mail: daianedulcileia@gmail.com; keyller@ufsj.edu.br

RESUMO

A contaminação de ambientes aquáticos por fluoroquinolonas tem gerado preocupação devido à difícil remoção e aos riscos ecotoxicológicos. Neste estudo, foi sintetizado um adsorvente magnético à base de carvão ativado e magnetita (Fe₃O₄/CA) utilizando o rejeito da mineração de ferro como precursor de ferro. O adsorvente foi aplicado na adsorção de levofloxacino em solução aquosa. Ensaios de adsorção foram realizados variando-se alguns fatores como pH, tempo de contato e concentração do fármaco. A cinética foi ajustada aos modelos de pseudo-primeira ordem e pseudo-segunda ordem; o equilíbrio, às isotermas de Langmuir e Freundlich. Alinhado aos princípios da química verde, o uso do material magnético eliminou a necessidade de centrifugação. Para facilitar a separação, foi desenvolvido um dispositivo modular via impressão 3D para suporte do ímã de neodímio, permitindo a separação magnética com processamento simultâneo e reprodutível de seis amostras.

Palavras-chave: carvão magnético, fluoroquinolonas, levofloxacino, adsorção, impressão 3D, Química Verde.

Introdução

A crescente demanda por recursos farmacêuticos, aliada ao uso indiscriminado de antibióticos, tem contribuído para a contaminação de corpos hídricos, comprometendo ecossistemas e favorecendo a resistência bacteriana (1). Dentre os antibióticos detectados em ambientes aquáticos, destacam-se as fluoroquinolonas, como o levofloxacino (LEVO), devido à sua alta solubilidade, estabilidade química e baixa biodegradabilidade (2). Técnicas de adsorção têm sido amplamente investigadas como alternativa eficaz para a remoção desses compostos, especialmente quando associadas a materiais de baixo custo, alta afinidade pelos contaminantes e fácil separação após o uso (3). Nesse contexto, a incorporação de propriedades magnéticas a adsorventes, como o carvão ativado, tem permitido aliar eficiência de remoção à praticidade operacional. Além disso, o reaproveitamento de rejeitos industriais como precursores desses materiais representa uma abordagem alinhada à Química Verde, promovendo sustentabilidade e redução de impactos ambientais (4).

Experimental

Lixiviação ácida e quantificação de Fe

Foram utilizados 74,0 g de rejeito de minério de ferro (RMF) com 40,98% de Fe. O material foi adicionado a uma solução de HCl concentrado (11,98 mol L^{-1}), aquecida a 80 °C e mantida sob agitação por 2 h. Após resfriamento, a solução foi filtrada e diluída para 400 mL. A concentração de Ferro no lixiviado foi determinada por espectrofotometria UV-Vis, pelo método da orto-fenantrolina com leitura a 510 nm.

Síntese do CA/Fe₃O₄

A solução de FeCl₃ obtida foi utilizada na coprecipitação com FeSO₄.7H₂O e carvão ativado comercial. Foram utilizados 68 mmol de Fe(III) e 34,5 mmol de Fe(II), em suspensão aquecida a 80 °C sob atmosfera de N₂. A precipitação foi realizada com adição lenta de NH₄OH 28% (50 mL). O sólido preto formado (Fe₃O₄/CA) foi separado magneticamente, lavado até pH neutro e seco a 60 °C ⁽⁵⁾.

Modelagem e impressão do suporte 3D

O suporte magnético modular foi projetado no software Fusion 360® (Autodesk Inc.) com seis cavidades cilíndricas para tubos Falcon e alojamento central para ímã de neodímio. O modelo 3D foi exportado em formato STL, processado no fatiador Orca Slicer e impresso em uma Ender 3 Neo (Creality®) com filamento de poliácido lático (PLA, 1,75 mm; 3DLab®). As condições de impressão foram: altura de camada de 0,2 mm, velocidade de 60 mm/s, temperatura do bico de 200 °C e da mesa de 55 °C. O uso do PLA justifica-se por sua origem renovável, biodegradabilidade e baixo impacto ambiental, alinhados à Química Verde ⁽⁶⁾.

Efeito do pH

A influência do pH na adsorção foi avaliada ajustando-se soluções de LEVO (10 μg·mL⁻¹) para pH 2, 4, 6, 8, 10 e 12. Em cada ensaio, 10 mg do adsorvente foram adicionados a 5 mL da solução e agitados em incubadora com agitação orbital, a 25 °C por 30 min (250 rpm). Após separação magnética com ímã de neodímio, a absorbância foi medida em UV-Vis (299 nm) e a porcentagem de adsorção calculada.

Quantidade de Material

Definido o pH ótimo, ensaios de adsorção foram realizados variandose a massa de adsorvente (1, 3, 5, 8, 10, 15 e 20 mg), mantendo as demais condições.

Estudo cinético

.A cinética foi investigada em pH 4, a 25 °C, com tempos de contato de (1, 2, 3, 5, 7, 10, 13, 15, 20, 30, 45 e 60 min). Para cada ensaio, 5 mg do adsorvente foram adicionados a 5 mL da solução de LEVO (10 $\mu g \cdot m L^{-1}$) e agitados a 250 rpm, determinando-se a concentração residual por UV-Vis

Estudo isotérmico

Os experimentos de adsorção foram conduzidos em pH previamente otimizado, variando-se a concentração inicial de LEVO entre 1 e 400 μg·mL⁻¹ (1, 10, 40, 60, 80, 100, 150, 260 e 400 μg·mL⁻¹).

Determinação do Ponto de carga Zero (PCZ)

A determinação do PCZ do Fe₃O₄/CA foi realizada com 125 mg do material em 5 mL de água deionizada em pH 2, 4, 6, 8, 10 e 12, ajustados com NaOH ou HCl (0,1/0,01 M). As amostras foram agitadas por 15 min a 175 rpm e deixadas em repouso por 24 h, após o pH foi medido. Todas as determinações foram feitas em duplicata, conforme descrito por Guilarduci et al. (2006).

Resultados e Discussão

Os parâmetros experimentais que resultaram em maior eficiência de adsorção (98,85 \pm 0,15%) foram: pH da amostra igual a 4, 5 mg de adsorvente e tempo de contato de 10 min. O material possui carga líquida zero pH_{pcz} de 5,78 (**Figura 1A**). Assim, acima deste pH o material apresenta carga negativa e abaixo deste pH apresenta carga positiva. Verificou-se que o material apresentou resposta magnética imediata quando submetido a um ímã de neodímio, permitindo a separação eficiente do adsorvente em solução (**Figura 1B**)

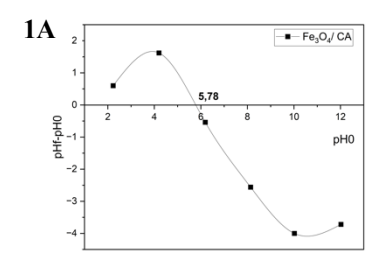




Figura 1. (A) PCZ; (B) Representação das propriedades magnéticas O LEVO possui pK_a de 5,35 e 6,72, estando majoritariamente protonado em pH 4,0. Nessa condição, a superficie do Fe₃O₄/CA (pH_pcz 5,78) apresenta carga positiva. Como a carga do material não influencia significativamente a adsorção, sugere-se que as interações predominantes sejam de natureza de ligação de hidrogênio entre os grupos carbonila, carboxílico e hidroxila do LEVO e os grupos oxigenados da superfície do Fe₃O₄/CA.

Foram avaliados os modelos cinéticos de pseudo-primeira e pseudo-segunda ordem, cujos parâmetros ajustados estão na **Tabela 1:** q_e é a quantidade de adsorvato em equilíbrio (mg/g); K_1 e K_2 são as constantes de velocidade dos modelos de pseudo-primeira (min^{-1}) e pseudo-segunda ordem $(g \cdot mg^{-1} \cdot min^{-1})$, respectivamente; R^2 indica o ajuste do modelo (quanto mais próximo de 1, melhor); X^2 $_{reduzido}$ é o erro qui-quadrado (quanto menor, melhor o ajuste); e R^2 ajustado é a versão corrigida de R^2 , que considera o número de parâmetros.

O modelo de pseudo-segunda ordem apresentou melhor ajuste aos dados experimentais, com maior R^2 , menor X^2 $_{reduzido}$ e melhor R^2 ajustado. A capacidade máxima de adsorção obtida (9,49 $mg\cdot g^{-1}$) aproximou-se do valor experimental (9,22 $mg\cdot g^{-1}$), evidenciando boa concordância entre o modelo e os dados experimentais.

Foram avaliadas as isotermas de Langmuir e Freundlich, com os parâmetros apresentados na **Tabela 1**. Q_{max} representa a capacidade máxima de adsorção segundo Langmuir, K_L é a constante de Langmuir relacionada à afinidade entre adsorvato e adsorvente, K_F é a constante de Freundlich, e valores de n > 1 indicam adsorção favorável.

Tabela1. Parâmetros ajustados dos modelos cinéticos e isotermas de adsorção.

Modelo	Parâmetros
Cinética de adsorção	
Pseudo-primeira ordem	$K_1/min^{-1}=0,77\pm0,06$
	$R^2 = 0.93$
	$X^{2}_{\text{reduzido}} = 0.11$
	$R^2_{ajustado} = 0.92$
	$q_e = 9.02 \pm 0.11$
Pseudo-segunda ordem	$K_2/g.mg^min^{-1} = 0.15 \pm 0.01$
	$R^2 = 0.98$
	$X^2_{\text{reduzido}} = 0.03$
	$R^2_{ajustado} = 0.98$
	$q_e = 9,49 \pm 0,07$
Isotermas de adsorção	
Langmuir	Q_{max} = 123,44 ± 6,58 mg g ⁻¹
	$K_L = 0.05 \pm 0.01 \text{ mg g}^{-1}$
	$R^2 = 0.98$
	$X^2_{\text{reduzido}} = 58,04$
	R^2 ajustado = 0,97
Freudlich	$K_F = 18,69 \pm 2,58 \text{ L/g}$
	n= 2,89 +- 0,24
	$R^2 = 0.984$
	$X^2 = 37,85$
	$R^2_{ajustado} = 0.98$

A isoterma de Freundlich apresentou melhor ajuste aos dados experimentais, com $R^2=0.98$ e menor $X^2_{\rm reduzido}.$ O valor de n>1 indica adsorção favorável e superfície heterogênea. A $Q_{\rm max}=123,44$ mg g $^{-1}$ estimada através do modelo de Langmuir foi próxima ao valor experimental $Q_{\rm max.exp}=121,35$ mg g $^{-1}$ porém seu ajuste foi ligeiramente inferior.

Conclusões

Este estudo demonstrou que o carvão magnético derivado do RMF pode ser uma alternativa sustentável e eficaz para a remoção de antibióticos em meio aquoso. A abordagem empregada combina a reutilização de resíduos, uso de ferramentas de fabricação digital e técnicas de separação magnética para desenvolver um processo ambientalmente mais amigável e eficiente.

Agradecimentos

CNPq, FAPEMIG, CAPES, RQ-MG, LASEP e UFSJ.

Referências

- 1-T.A.N. Ribeiro; D.D.M. Paula; M.M.C. Borges; L.A. Calixto; K.B. Borges, *ACS Meas. Sci. Au* 2025, 5 (1), 19–30.
- 2- Liu; L. Ni; Z. Hou; Y. Wang; Z. Shi; H. Wei; L. Feng; C. Sun, *J. Water Process Eng.* 2025, 73, 107682.
- 3-G. Crini; E.Lichtfouse, *Environ. Chem. Lett.* 2019, 17, 145–155.
- 4- P.T. Anastas; J.C. Warner, *Green Chemistry: Theory and Practice*, Oxford University Press, New York, 1998.
- 5- L. F. Costa, M. C. Silva in *Anais do XXXIV Encontro Regional da Sociedade Brasileira de Química (34º ERSBQ-MG)*, São João del Rei, 2024, Vol. 1.
- 6-H.M. Hafiz; A. Al Rashid; M. Koç, *Sustain. Chem. Pharm.* 2024, 42, 101778.
- 7- V. V. S. Guilarduci et al., *Química Nova* 2006, 29, 1226–1232